

УДК 517.958:536.2

МЕТОДЫ ВЫДЕЛЕНИЯ ДИАГОНАЛЬНОГО ЭЛЕМЕНТА ДЛЯ УСКОРЕНИЯ ИТЕРАЦИЙ ПРИ ЧИСЛЕННОМ РЕШЕНИИ УРАВНЕНИЯ ПЕРЕНОСА ТЕПЛОВОГО ИЗЛУЧЕНИЯ В ДИФФУЗИОННЫХ ПРИБЛИЖЕНИЯХ

А. Д. Гаджиев, А. А. Шестаков

(РФЯЦ-ВНИИТФ)

Рассматриваются численные методы выделения диагонального элемента для ускорения итераций при решении уравнения переноса теплового излучения в диффузионных приближениях. Получены теоретические оценки скорости сходимости итераций этих методов. Основная идея методов заключается в выделении искомой функции в центрах ячеек при сохранении в соседних ячейках значений величин, полученных на предыдущей итерации.

Ключевые слова: ускорение итераций, перенос теплового излучения.

Введение

Система уравнений переноса излучения и уравнения энергии представляет собой сложную нелинейную интегродифференциальную систему, зависящую в общем случае от семи независимых переменных. Поэтому ее часто решают в более простых диффузионных приближениях [1–3]. В P_1 - и квазидиффузионном приближениях это приводит к гиперболической системе уравнений относительно нулевого и первого моментов в разложении интенсивности излучения по сферическим функциям, в диффузионном приближении — к параболической системе уравнений. Если пренебречь временной производной от потока излучения, как в работе [3], то гиперболическая система также перейдет в параболическую систему. В параболическом случае, исключая поток, можно получить одно уравнение относительно плотности излучения.

Классические методы, используемые для решения задач диффузии, ориентированы на трехточечные разностные схемы для параболического уравнения. Если в трехточечной схеме аналогично итерациям Якоби использовать способ выделения искомой функции в центре ячейки из диффузионного члена, оставляя значения величин в соседних ячейках с предыдущей итерации, то можно выразить плотность излучения через функцию Планка в той же точке. Получая явным образом выражения для плотности излучения в центрах ячеек, подставляем их в уравнение энергии и разрешаем это уравнение относительно температуры. Используя полученную температуру, исходную систему можно решить либо прогонкой в одномерном случае, либо итерационными методами в двумерном случае. Такой метод итераций был предложен в работах [4, 5] и в дальнейшем получил название метода выделения диагональных элементов (ВДЭ). Отличие метода ВДЭ от классического метода Якоби заключается в том, что выделение диагонального члена происходит не в полной совместной системе уравнений диффузии и энергии, которую необходимо решить, а только в диффузионных уравнениях.

В двухточечных схемах типа схемы РОМБ [6] для применения такого подхода приходится переходить к эквивалентной трехточечной форме [7–10]. Однако в многомерном случае привести двухточечные схемы к трехточечной форме не всегда удается, поэтому был предложен метод выделения

диагональной матрицы (ВДМ) [11], в котором предлагается для системы P_1 -уравнений использовать комбинацию плотности и потока излучения с предыдущей итерации на границах счетных ячеек. В качестве комбинации предлагается использовать либо односторонние потоки, либо инварианты Римана, либо счетные псевдоинварианты схемы РОМБ.

В данной работе метод ВДМ обобщается на случай диффузионных и квазидиффузионных уравнений. Рассматривается его применение к двухточечным схемам РОМБ [6, 11] и TVD [12, 13]. Получены теоретические оценки скорости сходимости итераций методов ВДЭ и ВДМ.

Ранее для решения системы квазидиффузионных уравнений по схеме РОМБ использовался метод P_1 -поправок [14], где система поправочных уравнений решалась методом ВДЭ.

Одномерный случай

Постановка задачи. Изложение методов ВДЭ и ВДМ сначала рассмотрим для одномерного случая. Одномерная система переноса лучистой энергии в многогрупповом квазидиффузионном приближении имеет вид

$$\begin{aligned} \frac{1}{c} \frac{\partial U_g}{\partial t} + \frac{\partial (r^\sigma S_g)}{r^\sigma \partial r} + \alpha_{cg} U_g &= \alpha_{cg} B_g; \\ \frac{\beta}{c} \frac{\partial S_g}{\partial t} + \frac{\partial (D_g U_g)}{\partial r} + \alpha_g S_g + d_g U_g &= 0; \\ \frac{\partial E}{\partial t} &= \sum_{g=1}^G \alpha_{cg} (U_g - B_g) w_g. \end{aligned} \quad (1)$$

Здесь t — время; r — координата; $U_g = \int_{-1}^1 J_g d\mu$ — плотность излучения группы g ($g = \overline{1, G}$), умноженная на скорость света c ; $S_g = \int_{-1}^1 \mu J_g d\mu$ — поток излучения группы g ; J_g — интенсивность излучения группы g ; μ — косинус угла между направлением полета фотона и осью r ; B_g — функция Планка; α_{cg} — коэффициент поглощения фотонов; α_{sg} — коэффициент рассеяния фотонов; α_g — коэффициент ослабления, $\alpha_g = \alpha_{cg} + \alpha_{sg}$; E — внутренняя энергия вещества; w_g — вес квадратуры; σ — параметр геометрии: $\sigma = 0$ — плоская геометрия ($d_g = 0$); $\sigma = 1$ — цилиндрически-симметричная геометрия; $\sigma = 2$ — сферически-симметричная геометрия;

$$\beta = 1; D_g = \frac{1}{U_g} \int_{-1}^1 \mu^2 J_g d\mu; d_g = \frac{3D_g - 1}{r} \text{ — квазидиффузионное приближение [1];}$$

$$\beta = 1; D_g = 1/3; d_g = 0 \text{ — } P_1\text{-приближение;}$$

$$\beta = 0; D_g = \frac{1}{U_g} \int_{-1}^1 \mu^2 J_g d\mu; d_g = \frac{3D_g - 1}{r} \text{ — псевдодиффузионное приближение [3];}$$

$$\beta = 0; D_g = 1/3; d_g = 0 \text{ — диффузионное приближение.}$$

Границные условия имеют вид:

$$\alpha_{0,g} U_g + \beta_{0,g} S_g = \varphi_{0,g}; \quad \alpha_{1,g} U_g + \beta_{1,g} S_g = \varphi_{1,g},$$

где $\alpha_{0,g}, \beta_{0,g}, \varphi_{0,g}, \alpha_{1,g}, \beta_{1,g}, \varphi_{1,g}$ — параметры для задания граничных условий.

Разностная аппроксимация. Введем разностную сетку по пространственной ($i = 1, \dots, \hat{i}$) и временной (n) переменным, тогда система разностных уравнений примет вид (для упрощения записи

здесь опущены индексы $i + 1/2, g$)

$$\begin{aligned} qU^{n+1} + \frac{\Delta_i(r^\eta S^{n+1})}{V} &= \frac{1}{c\tau} U^n + \alpha_c B^{n+1}; \\ q_2 S^{n+1} + \frac{\Delta_i(DU^{n+1})}{h} + (dU)^{n+1} &= \frac{\beta}{c\tau} S^n, \end{aligned} \quad (2)$$

где $\tau = t^{n+1} - t^n$; $h_{i+1/2} = r_{i+1} - r_i$; $V_{i+1/2} = \frac{r_{i+1}^{\eta+1} - r_i^{\eta+1}}{\eta + 1}$; $\Delta_i(\bullet) = (\bullet)_{i+1} - (\bullet)_i$; $q = \frac{1}{c\tau} + \alpha_c$; $q_2 = \frac{\beta}{c\tau} + \alpha_c + \alpha_s$.

Систему разностных уравнений (2) дополняем соотношениями схемы РОМБ [11], связывающими U и S с целыми и полуцелыми индексами:

$$U_{i+1/2} = \frac{U_{i+1} + U_i}{2} + \delta_{i+1/2} \Delta_i S; \quad S_{i+1/2} = \frac{S_{i+1} + S_i}{2} + \theta_{i+1/2} \Delta_i U, \quad (3)$$

где $\delta = \frac{1}{4m}$; $m = \theta + \frac{D}{q_2 h}$; $\theta = \frac{h}{15(1+5k)} \Lambda(D/q_2)$; $k = \frac{\sqrt{D}}{h\sqrt{qq_2}}$; $\Lambda(q_{i+1/2}) = \frac{q_{i-1/2} - 2q_{i+1/2} + q_{i+3/2}}{h_{i+1/2}^2}$,

либо соотношениями схемы TVD

$$\begin{aligned} U_{i+1/2} &= \frac{1}{2} \left(\frac{U_i}{a_-} + \frac{U_{i+1}}{a_+} \right) + \frac{1}{2\sqrt{D_{i+1/2}}} \left(\frac{S_{i+1}}{a_+} - \frac{S_i}{a_-} \right); \\ S_{i+1/2} &= \frac{1}{2} \left(\frac{S_i}{a_-} + \frac{S_{i+1}}{a_+} \right) + \frac{\sqrt{D_{i+1/2}}}{2} \left(\frac{U_{i+1}}{a_+} - \frac{U_i}{a_-} \right). \end{aligned}$$

Коэффициенты a_\pm приведены в работах [12, 13].

Подставляя соотношения связи схемы TVD или (3) в систему (2), получаем уравнения

$$\begin{aligned} a_i^0 U_i + b_i^0 U_{i+1} + c_i^0 S_i + d_i^0 S_{i+1} &= f_{i+1/2}^0; \\ a_i^1 U_i + b_i^1 U_{i+1} + c_i^1 S_i + d_i^1 S_{i+1} &= f_{i+1/2}^1, \end{aligned} \quad (4)$$

которые решаются методом потоковой прогонки. Коэффициенты a, b, c, d, f для обеих схем и формулы прогонки приведены в работах [11–13].

Метод ВДЭ. Методы ВДЭ, используемые для решения задач спектральной диффузии, ориентированы на трехточечные разностные схемы с диагональным преобладанием, а схема РОМБ, используемая в работе [6], представляет собой двухточечную схему. Формально применить метод ВДЭ к двухточечным схемам не удается. Проблема применения методов ВДЭ к двухточечным схемам диффузии излучения впервые рассмотрена в работе [7], где предложено применять метод ВДЭ к двухточечной схеме РОМБ, записанной в эквивалентной трехточечной форме.

Если для применения метода ВДЭ перейти от системы (2), (3) к эквивалентной трехточечной форме относительно плотности U в рамках одного счетного интервала (рис. 1), то получим разностное уравнение вида

$$-\frac{P_{i+1/2}}{2} U_i^{n+1} + (q_{i+1/2} + P_{i+1/2}) U_{i+1/2}^{n+1} - \frac{P_{i+1/2}}{2} U_{i+1}^{n+1} = \frac{1}{c\tau} U_{i+1/2}^n + (\alpha_c B^{n+1})_{i+1/2}, \quad (5)$$

где $P = 1/(\delta h)$. На рис. 1 и последующих рисунках звездочками отмечены точки, в которых находятся искомые функции.

Организуя вычислительный процесс по методу ВДЭ, выделяем диагональное значение плотности $U_{i+1/2}$ в точке $i + 1/2$ на искомой итерации аналогично работам [4, 5] и подставляем его в линеаризованное уравнение энергии из системы (1), оставляя остальные значения величины U с предыдущей итерацией. Тогда для схемы (5) получаем явную формулу определения температуры.

К достоинствам этого варианта метода ВДЭ можно отнести то, что он позволяет оставаться в рамках одной ячейки разностной сетки, не нарушая идеологию схемы РОМБ. К недостаткам можно отнести то, что по скорости сходимости этот вариант проигрывает классическим вариантам для трехточечных схем [4, 5].

Второй вариант метода ВДЭ для схемы РОМБ также рассматривается в работе [7]. Эквивалентная трехточечная форма расписывается относительно плотности U в рамках трех счетных интервалов (рис. 2):

$$\begin{aligned} -(\overline{A}U)_{i-1/2}^{n+1} + \left[\left(\overline{D} + \frac{qh}{2} \right) U \right]_{i+1/2}^{n+1} - (\overline{C}U)_{i+3/2}^{n+1} = \\ = (A'B)_{i-1/2}^{n+1} + \left[\left(\frac{\alpha_c h}{2} - D' \right) B \right]_{i+1/2}^{n+1} + (C'B)_{i+3/2}^{n+1} + R_{i+1/2}^n, \end{aligned} \quad (6)$$

где коэффициенты $\overline{A}, \overline{D}, \overline{C}, A', D', C', R$ приведены в работе [7].

Заметим, что в трехточечном аналоге схемы РОМБ (6) для одномерного случая участвует не только плотность излучения U в трех точках, но и функция Планка в тех же точках. Для классических трехточечных схем функция Планка берется только в центральной точке. Следует заметить, что схема (6) является полностью исключенной относительно U только в диффузионном приближении при $\beta = 0$. В P_1 -приближении полностью исключенную схему получить не удается. Однако это не влияет на организацию итерационного процесса, так как неисключенные члены (поток излучения) в формуле для R берутся с предыдущего шага.

Выделяя диагональное значение плотности в (6), из линеаризованного уравнения энергии в общем случае получаем трехточечную систему для температуры:

$$- \left(a^k T^{k+1} \right)_{i-1/2} + \left(b^k T^{k+1} \right)_{i+1/2} - \left(d^k T^{k+1} \right)_{i+3/2} = f_{i+1/2}^k, \quad (7)$$

которую решаем прогонкой. Коэффициенты a, b, d, f приведены в работе [7]. При выборе параметра δ по формуле $\delta = 1/(4m)$ коэффициенты a, d зануляются и из уравнения (7) получается явная формула для температуры. В этом случае решение уравнения энергии упрощается.

Коэффициенты при внедиагональных членах $U_{i-1/2}^\nu, U_{i+3/2}^\nu$ в схеме (6) меньше коэффициентов в схеме (5). Это и обеспечивает более быструю сходимость схемы (6).

К достоинствам этого варианта можно отнести то, что по скорости сходимости он сравним с классическими методами [4, 5]. К недостаткам можно отнести то, что исключенная схема, в отличие от исходной, не остается в рамках одной ячейки разностной сетки, функция Планка берется не только в центральной точке, но и в соседних, и схема является полностью исключенной относительно U только в диффузионном приближении при $\beta = 0$.

Если параметр δ выбирать по формуле $\delta = \frac{1}{4m} - \frac{1}{qh}$, то в исключенной схеме (6) зануляются внедиагональные коэффициенты A и C . В этом случае вместо итерационного алгоритма в методе ВДЭ получается явная формула для вычисления плотности излучения в каждой точке. Подставляя ее в линеаризованное уравнение энергии, получаем явную формулу для нахождения температуры. Однако такой метод хорош только в оптически-плотных средах, так как в оптически-прозрачных средах при $\alpha \rightarrow 0$ может нарушаться условие положительности параметра δ , что приводит к неустойчивости вычислительного алгоритма.

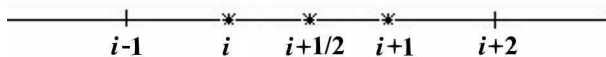


Рис. 1. Разностный шаблон для схемы (5)

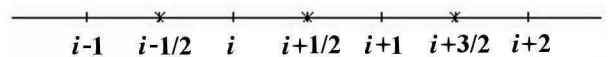


Рис. 2. Разностный шаблон для схемы (6)

Третий вариант метода ВДЭ для схемы РОМБ рассматривается в работе [10]. При выборе параметра δ по формуле $\delta = 1/(4m)$ коэффициенты A' , C' в уравнении (6) обращаются в нуль и уравнение можно записать в эквивалентной трехточечной форме относительно плотности U в рамках пяти счетных интервалов (рис. 3):

$$\begin{aligned} -(\overline{A}U)_{i-3/2}^{n+1} + \left[\left(\overline{D} + \frac{qh}{2} \right) U \right]_{i+1/2}^{n+1} - (\overline{C}U)_{i+5/2}^{n+1} = \\ = (A''B)_{i-1/2}^{n+1} + \left[\left(\frac{\alpha_c h}{2} - D'' \right) B \right]_{i+1/2}^{n+1} + (C''B)_{i+3/2}^{n+1} + \overline{R}_{i+1/2}^n. \end{aligned} \quad (8)$$

Коэффициенты \overline{A} , \overline{D} , \overline{C} , A'' , D'' , C'' , \overline{R} приведены в работе [10]. Коэффициенты при внедиагональных членах $U_{i-3/2}$, $U_{i+5/2}$ в схеме (8) при $\delta h > 1/8$ меньше коэффициентов в схеме (6). Это и обеспечивает более быструю сходимость схемы (8).

К достоинствам этого варианта можно отнести то, что по скорости сходимости он превосходит предыдущие варианты и сравним с многодиагональным методом [15]. К недостаткам можно отнести то, что расширение шаблона до пяти ячеек разностной сетки усложняет схему (например, в многомерном случае или при аппроксимации у границ) и схема является полностью исключенной относительно U только при $\delta = 1/(4m)$.

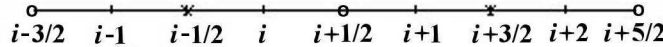


Рис. 3. Разностный шаблон для схемы (8)

Метод ВДМ. Метод ВДМ был предложен для схемы РОМБ в P_1 -приближении в работе [11], для TVD-схемы в P_1 -приближении — в работе [12], для TVD-схемы в квазидиффузионном приближении — в работе [13]. Метод был создан потому, что в общем случае для двухточечных схем не удается получить эквивалентную исключенную форму относительно плотности U . Также он позволяет оставаться в рамках одной ячейки разностной сетки без ограничений на выбор параметра δ .

Аналогично методу ВДЭ будем обсчитывать ячейку разностной сетки независимо от соседних интервалов. В качестве граничного условия будем использовать некоторые комбинации плотности и потока излучения $(\varphi_0)_{g,i}$, $(\varphi_1)_{g,i+1}$ с предыдущей итерации на границах счетных ячеек (рис. 4).

Систему линейных уравнений (4) будем решать внутри данной ячейки методом встречной прогонки. В результате получим явную формулу для плотности излучения

$$U_{i+1/2}^{n+1} = \frac{1}{q_{i+1/2}} \left[\left(\alpha_c - \frac{a_{11}}{h} \right) B^{n+1} + \frac{1}{\tau} U^n - \frac{a_{12}}{h} \right]_{i+1/2},$$

которую подставим в линеаризованное уравнение энергии и получим выражение для нахождения температуры. Коэффициенты a_{11} , a_{12} приведены в работах [11–13].

В методе ВДМ для разных приближений рассматривались следующие варианты:

1. Односторонний поток. То есть функция φ выбиралась в виде

$$(\varphi_0)_{g,i} = \frac{1}{4} U_{g,i} + \frac{1}{2} S_{g,i}; \quad (\varphi_1)_{g,i} = \frac{1}{4} U_{g,i} - \frac{1}{2} S_{g,i}.$$



Рис. 4. Ячейка разностной сетки

2. Инвариант Римана:

$$(\varphi_0)_{g,i} = \frac{1}{\sqrt{3}} U_{g,i} + S_{g,i}; \quad (\varphi_1)_{g,i} = \frac{1}{\sqrt{3}} U_{g,i} - S_{g,i}.$$

3. Счетный псевдоинвариант:

$$(\varphi_0)_{g,i} = (X^+ U)_{g,i} + (Y^+ S)_{g,i}; \quad (\varphi_1)_{g,i} = (X^- U)_{g,i} - (Y^- S)_{g,i},$$

где $X_i^+, Y_i^+, X_i^-, Y_i^-$ — прогоночные коэффициенты.

4. Квазидиффузионный инвариант:

$$(\varphi_0)_{g,i} = (\sqrt{DU})_{g,i} + S_{g,i}; \quad (\varphi_1)_{g,i} = (\sqrt{DU})_{g,i} - S_{g,i}.$$

Наиболее простыми являются первые два варианта. В третьем варианте обязательно должна быть реализована встречная прогонка (в первом и втором достаточно потоковой прогонки), а также необходима дополнительная оперативная память для хранения массивов $X^+, Y^+, X^-, Y^-, a_i, b_i, c_i, d_i$ со второго этапа для всех групп этапа, ускоряющего сходимость итераций (на котором вычисляется температура). В четвертом варианте необходимо использовать интерполяционные формулы для вычисления коэффициента квазидиффузии в узлах разностной сетки.

К достоинствам ВДМ-метода можно отнести то, что по скорости сходимости он не проигрывает классическим методам [4, 5] и варианту (6) метода ВДЭ. ВДМ-метод позволяет оставаться в рамках одной ячейки разностной сетки без ограничений на выбор параметра δ , не нарушая идеологию двухточечных схем. Это позволяет также использовать алгоритм, при котором плотность излучения находится не прогонкой, а по явным формулам, когда появляется возможность распараллеливания счета по всем ячейкам разностной сетки.

Метод выделения многодиагональной матрицы. Аналогично варианту метода ВДЭ (8) можно расширить шаблон для метода ВДМ. Будем обсчитывать две или несколько ячеек разностной сетки независимо от соседних интервалов. В этом случае получается многодиагональная матрица и соответственно имеем метод *выделения многодиагональной матрицы* (ВММ). В общем случае при построении метода ВММ рассматриваются $L + M + 1$ узлов разностной сетки (рис. 5).

Суть метода состоит в следующем. В окрестности заданной точки $i + 1/2$ выделяется система $L + M + 1$ уравнений (L уравнений *вперед* и M уравнений *назад*). В качестве граничного условия на левой границе ячейки в точке $i - M$ будем рассматривать некоторую комбинацию искомых функций $\alpha_0^\nu U_{i-M}^{\nu+1} + \beta_0^\nu S_{i-M}^{\nu+1} = \varphi_0^\nu$, где $\varphi_0^\nu = \alpha_0^\nu U_{i-M}^\nu + \beta_0^\nu S_{i-M}^\nu$. В качестве граничного условия на правой границе ячейки в точке $i + L$ будем рассматривать аналогичную комбинацию $\alpha_1^\nu U_{i+L+1}^{\nu+1/2} - \beta_1^\nu S_{i+L+1}^{\nu+1/2} = \varphi_1^\nu$, где $\varphi_1^\nu = \alpha_1^\nu U_{i+L+1}^\nu - \beta_1^\nu S_{i+L+1}^\nu$.

Далее, разрешая систему $L + M + 1$ уравнений методом встречной прогонки, выражаем плотность излучения в точке $i + 1/2$ через функции Планка в $L + M + 1$ точках. Подставляя полученное выражение в уравнение энергии после линеаризации, получаем матричное уравнение для определения температуры. При $M = 0, L = 1$ получаем метод ВДМ. При $M = 1, L = 2$ матрица будет трехдиагональной. Как показывают расчеты [15], именно этот вариант обеспечивает наибольший скачок в сокращении числа итераций, если рассматривать число итераций в зависимости от параметров M, L . При достаточно больших M, L ($M + L + 1 = I$, где I — число узлов разностной сетки) рассматриваемый метод непрерывно переходит в метод Райбеки [16].

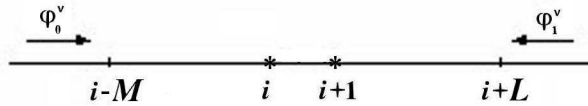


Рис. 5. Ячейка разностной сетки

Оценка скорости сходимости итераций. Оценим скорость сходимости итераций в простейшем случае без рассеяния при $E = AB$, постоянном коэффициенте поглощения, постоянном шаге по сетке $h = \Delta r_i$ и постоянном коэффициенте квазидиффузии $D = 1/3$. В линейном случае вышеперечисленные исключенные схемы имеют наиболее простой вид при $\theta = 0$. Тогда $m = \frac{1}{3q_2 h}$,

$P = \frac{1}{\delta h} = \frac{4}{3q_2 h^2}$ и исключенные схемы принимают следующий вид:

- для первого варианта ВДЭ

$$-\frac{2}{3q_2 h^2} U_i + \left(q + \frac{4}{3q_2 h^2} \right) U_{i+1/2} - \frac{2}{3q_2 h^2} U_{i+1} = \frac{1}{c\tau} U_{i+1/2}^n + (\alpha_c B)_{i+1/2};$$

- для второго варианта ВДЭ

$$-\frac{1}{3q_2 h^2} U_{i-1/2} + \left(q + \frac{2}{3q_2 h^2} \right) U_{i+1/2} - \frac{1}{3q_2 h^2} U_{i+3/2} = \frac{1}{c\tau} U_{i+1/2}^n + (\alpha_c B)_{i+1/2}$$

(как подвариант второго варианта при $\delta = \frac{1}{4m} - \frac{1}{qh}$ можно рассмотреть явное вычисление плотности $qU_{i+1/2} = \frac{1}{c\tau} U_{i+1/2}^n + (\alpha_c B)_{i+1/2} + \frac{\alpha_c}{3q_2 h^2} (B_{i-1/2} - B_{i+1/2} + B_{i+3/2})$, но в оценках скорости сходимости он не рассматривался из-за ограничения $\frac{4}{3qq_2 h^2} < 1$);

- для третьего варианта ВДЭ

$$-\left(\frac{1}{3q_2 h^2}\right)^2 U_{i-3/2} + \left[q^2 + \frac{4q}{3q_2 h^2} + 2\left(\frac{1}{3q_2 h^2}\right)^2\right] U_{i+1/2} - \left(\frac{1}{3q_2 h^2}\right)^2 U_{i+5/2} = R_{i-1/2}^1 + R_{i+1/2}^2 + R_{i+3/2}^3.$$

Введем в рассмотрение поправки $\Delta Z^k = Z_{i+1/2}^{n+1} - Z_{i+1/2}^k$, где в качестве Z фигурируют искомые функции U, B ; k – соответствующий итерационный индекс. Пусть

$$\delta B^{k+1} = \max_i |\Delta B_{i+1/2}^{k+1}|, \quad \delta U^{k+1} = \max_i |\Delta U_{i+1/2}^{k+1}|,$$

тогда с учетом принятых допущений справедливы оценки

$$\delta U^{k+1} \leq q_1 \delta U^k; \quad \delta B^{k+1} \leq q_2 \delta U^k,$$

где коэффициенты q_1 и $q_2 = q_1 \frac{\alpha}{A/\tau + \alpha}$ зависят от итерационного метода.

Коэффициенты q_1 для разных методов приведены в табл. 1. Также в табл. 1 для сравнения приведены коэффициенты q_1 для метода Якоби и простой итерации.

Для наглядности на рис. 6, 7 изображена зависимость коэффициента q_1 от оптической толщины αh для разных методов из табл. 1 при $h = 2$, $c = 3000$, $\tau = 0,002$, $A = 1/c$ и $A = 1$. Из рисунков видно, что скорость сходимости ВДМ-метода находится между скоростями сходимости второго и третьего вариантов ВДЭ-метода.

Рассмотрим сходимость методов ВДЭ и ВДМ в предельных случаях.

В случае оптически плотной среды при $\alpha_s = \text{const}$, $\alpha_c \rightarrow \infty$ следует, что $q_1 \rightarrow 0$, $q_2 \rightarrow 0$. То есть скорость сходимости ВДЭ- и ВДМ-методов бесконечна в оптически плотной среде. В случае оптически прозрачной среды при $\alpha_s = \text{const}$, $\alpha_c \rightarrow 0$ следует, что $q_1 \rightarrow 0$, $q_2 \rightarrow 0$. То есть скорость сходимости ВДЭ- и ВДМ-методов бесконечна в оптически прозрачной среде.

Скорость сходимости ВДЭ-метода зависит от шага по пространственной сетке. При $h \rightarrow 0$ получаем $q_1 \rightarrow q_* = \frac{\alpha^2}{\left(\frac{A}{\tau} + \alpha\right)\left(\frac{1}{c\tau} + \alpha\right)}$. То есть в оптически прозрачной среде при $\alpha_c \rightarrow 0$ скорость сходимости

Коэффициенты q_1 для различных методов

Метод	q_1
Простая итерация	$\frac{\alpha^2}{\left(\frac{A}{\tau} + \alpha\right) \left(\frac{1}{c\tau} + \alpha\right)}$
Метод Якоби	$\frac{\frac{P}{2} \left(\frac{A}{\tau} + \alpha\right)}{\left(\frac{A}{\tau} + \alpha\right) \left(\frac{1}{c\tau} + \alpha + \frac{P}{2}\right) - \alpha^2}$
Первый вариант ВДЭ	$\frac{\alpha^2 P}{\left(\frac{1}{c\tau} + \alpha\right) \left[\left(\frac{A}{\tau} + \alpha\right) \left(\frac{1}{c\tau} + \alpha + P\right) - \alpha^2\right]}$
Второй вариант ВДЭ	$\frac{\alpha^2 \frac{P}{2}}{\left(\frac{1}{c\tau} + \alpha\right) \left[\left(\frac{A}{\tau} + \alpha\right) \left(\frac{1}{c\tau} + \alpha + \frac{P}{2}\right) - \alpha^2\right]}$
Третий вариант ВДЭ	$\frac{\alpha^2 \left(\frac{P}{2}\right)^2}{\left(\frac{1}{c\tau} + \alpha\right) \left\{ \left(\frac{A}{\tau} + \alpha\right) \left[8 \left(\frac{1}{c\tau} + \alpha\right) \left(\frac{1}{c\tau} + \alpha + \frac{P}{2}\right) + \left(\frac{P}{2}\right)^2 \right] - 8\alpha^2 \left(\frac{1}{c\tau} + \alpha + \frac{P}{2}\right) \right\}}$
ВДМ	$\frac{\alpha^2 P}{\left[2h \left(\frac{1}{c\tau} + \alpha\right) + P\right] \left[\frac{A}{\tau} \left(\frac{1}{c\tau} + \alpha\right) + \frac{\alpha}{c\tau}\right] + \alpha^2 P}$

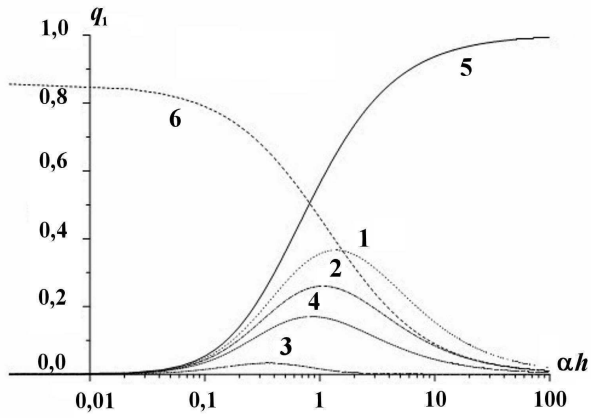


Рис. 6. Зависимость коэффициента q_1 от оптической толщины αh при $A = 1/c$: 1 — первый вариант ВДЭ; 2 — второй вариант ВДЭ; 3 — третий вариант ВДЭ; 4 — метод ВДМ; 5 — простая итерация; 6 — метод Якоби

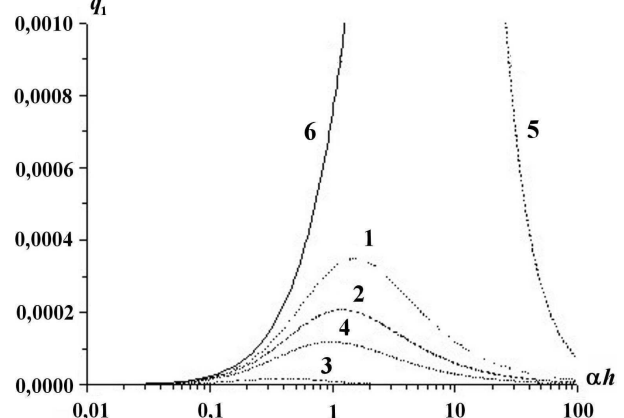


Рис. 7. Зависимость коэффициента q_1 от оптической толщины αh при $A = 1$: 1 — первый вариант ВДЭ; 2 — второй вариант ВДЭ; 3 — третий вариант ВДЭ; 4 — метод ВДМ; 5 — простая итерация; 6 — метод Якоби

димости метода максимальна, а в оптически плотной среде при $\alpha_c \rightarrow \infty$ — минимальна и зависит от коэффициента q_1 , который, в свою очередь, зависит от шага по времени и коэффициента поглощения. Наихудшая сходимость наступает в оптически плотной среде при очень мелких шагах по

пространственной сетке. Выходом из этой ситуации является измельчение шага по времени, так как при $\tau \rightarrow 0$ получаем $q_* \rightarrow 0$.

Скорость сходимости ВДМ-метода также зависит от шага по пространственной сетке. При $h \rightarrow 0$ получаем $q_1 \rightarrow q_{**} = \frac{\alpha^2}{\frac{A}{\tau} \left(\frac{1}{c\tau} + \alpha \right) + \frac{\alpha}{c\tau} + \alpha^2}$. При $\tau \rightarrow 0$ получаем $q_{**} \rightarrow 0$. Значения коэффициента q_1 в предельных случаях приведены в табл. 2.

В диффузионном и псевдодиффузионном случаях при $\beta = 0$ в оценках сходимости меняется только параметр $P = \frac{4}{3q_2 h^2} = \frac{4c\tau}{3h^2}$ в сторону увеличения, но так как он присутствует как в числите, так и в знаменателе формулы для q_1 , то это практически не влияет на скорость сходимости.

Таблица 2

Значения коэффициента q_1 в предельных случаях

Метод	$\alpha \rightarrow 0$	$\alpha \rightarrow \infty$	$h \rightarrow 0$	$h \rightarrow \infty$
Простая итерация	0	1	q_*	q_*
Метод Якоби	1	0	1	0
Первый вариант ВДЭ	0	0	q_*	0
Второй вариант ВДЭ	0	0	q_*	0
Третий вариант ВДЭ	0	0	q_*	0
ВДМ	0	0	q_{**}	0

Двумерный случай

Постановка задачи. Рассмотрим двумерную систему переноса лучистой энергии в многогрупповом квазидиффузионном приближении для осесимметричной геометрии в цилиндрической системе координат:

$$\begin{aligned} \frac{1}{c} \frac{\partial U_g}{\partial t} + \frac{1}{r} \frac{\partial \left(r \left(\vec{\Phi}_g \right)_r \right)}{\partial r} + \frac{\partial \left(\vec{\Phi}_g \right)_z}{\partial z} + \alpha_{cg} U_g &= \alpha_{cg} B_g; \\ \frac{\beta}{c} \frac{\partial \vec{\Phi}_g}{\partial t} + D_g \operatorname{grad} U_g + \alpha_g \vec{\Phi}_g + \vec{P}_g U_g &= 0. \end{aligned} \quad (9)$$

Здесь r, z — цилиндрические координаты; \vec{z} — ось симметрии; $U_g = \int_{\Omega} J_g d\vec{\Omega}$ — плотность излучения группы g ($g = \overline{1, G}$), умноженная на скорость света c ; $\vec{\Phi}_g = \int_{\Omega} \vec{\Omega} J_g d\vec{\Omega}$ — поток излучения группы g ; J_g — интенсивность излучения группы g ;

$$\begin{aligned} \vec{\Phi} &= \begin{pmatrix} \Phi_r \\ \Phi_z \end{pmatrix}, \quad \Phi_r = \int_{-1}^1 \int_0^{2\pi} \xi J d\mu d\psi, \quad \Phi_z = \int_{-1}^1 \int_0^{2\pi} \mu J d\mu d\psi; \\ D &= \begin{pmatrix} D_1 & D_3 \\ D_3 & D_2 \end{pmatrix}, \quad D_1 = U^{-1} \int_{-1}^1 \int_0^{2\pi} \xi^2 J d\mu d\psi, \quad D_2 = U^{-1} \int_{-1}^1 \int_0^{2\pi} \mu^2 J d\mu d\psi, \quad D_3 = U^{-1} \int_{-1}^1 \int_0^{2\pi} \xi \mu J d\mu d\psi; \\ \vec{P} &= \begin{pmatrix} P_1 \\ P_2 \end{pmatrix}, \quad P_1 = \frac{1}{r} (2D_1 + D_2 - 1) + \frac{\partial D_1}{\partial r} + \frac{\partial D_3}{\partial z}, \quad P_2 = \frac{1}{r} D_3 + \frac{\partial D_3}{\partial r} + \frac{\partial D_2}{\partial z}; \end{aligned}$$

$\xi = \cos \psi \sqrt{1 - \mu^2}$; $\mu = \cos \theta$, θ — угол между $\vec{\Omega}$ и осью \vec{z} ; ψ — угол между \vec{r} и проекцией $\vec{\Omega}$ на плоскость, перпендикулярную оси \vec{z} .

Совместно с системой (9) решается уравнение энергии в следующем виде:

$$\frac{\partial E}{\partial t} = \sum_{g=1}^G \alpha_{cg} (U_g - B_g) w_g.$$

Границные условия имеют вид

$$\alpha_g U_g + \beta_g (\vec{\Phi}_g \vec{n}) = \varphi_g,$$

где α_g , β_g , φ_g — параметры для задания граничных условий; n — внешняя нормаль.

Метод ВДЭ. Двумерный вариант метода ВДЭ для схемы РОМБ рассматривался в работе [8] для P_1 -приближения. Для применения метода ВДЭ переходили к эквивалентной исключенной форме относительно плотности U . Эквивалентную исключенную форму относительно плотности U на девятиточечном шаблоне (рис. 8) можно получить только в диффузионном случае при $\delta = 1/(4m)$, $\beta = 0$.

В общем случае для любых параметров δ , β эквивалентную исключенную форму относительно плотности U получить не удается, поэтому часть величин на гранях и в центрах соседних ячеек приходится брать с предыдущей итерации. В зависимости от этого можно получить методы ВДЭ с различной скоростью сходимости итераций. Можно построить двумерный аналог первого варианта ВДЭ-метода в рамках одной счетной ячейки (рис. 9, а) или аналог второго варианта ВДЭ-метода в рамках пяти счетных ячеек (рис. 9, б).

Счетные формулы в двумерном случае намного сложнее, поэтому в данной работе приведены только шаблоны, используемые в методах ВДЭ и ВДМ.

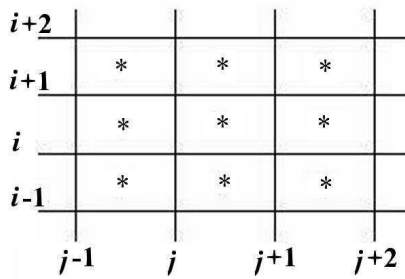


Рис. 8. Разностный шаблон при $\delta = 1/(4m)$, $\beta = 0$

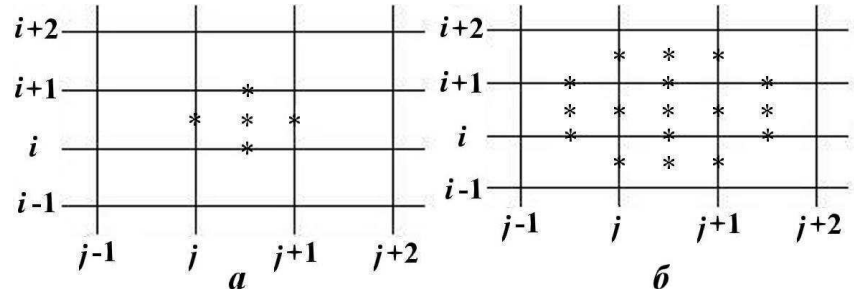


Рис. 9. Разностный шаблон в рамках одной (а) и пяти (б) счетных ячеек

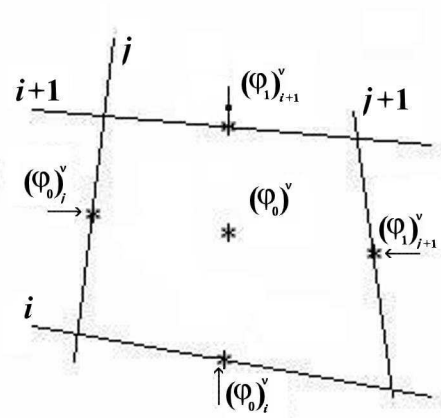


Рис. 10. Разностный шаблон для построения метода ВДМ

Метод ВДМ. Двумерный вариант метода ВДМ для схемы РОМБ в диффузионном и P_1 -приближениях рассматривался в работе [11]. В двумерном методе ВДМ плотность излучения в центрах счетных ячеек выражается через комбинации плотности и потока излучения с предыдущей итерацией на четырех границах ячейки φ^ν . Разностный шаблон для построения ускоряющего метода приведен на рис. 10.

Исходя из заданных значений φ^ν на гранях данной ячейки в работе [11] получена формула связи плотности излучения с функцией Планка в каждой ячейке непосредственно на основе разностных формул схемы РОМБ. Подставляя это выражение в линеаризованное уравнение энергии, получаем формулу для определения температуры. Аналогичные формулы можно получить для TVD-схем.

Метод ВММ. В итерационном методе ВММ предлагается использовать комбинацию плотности и потока излучения с предыдущей итерации на границах счетных подобластей, состоящих из произвольного числа ячеек. При рассмотрении одноячеечного шаблона на разностной сетке получаем метод уровня 1 для диагональной матрицы, при рассмотрении пятиячеечного шаблона получаем метод уровня 2 для пятидиагональной матрицы. В этом случае для разрешения двумерной системы можно использовать метод расщепления. В каждом направлении получается потоковая прогонка по трем ячейкам. При рассмотрении $4L + 1$ узлов разностной сетки получаем метод уровня L на крестообразном шаблоне. Двумерную систему разрешаем методом расщепления. Для метода уровня L получаются две потоковые прогонки в каждом направлении.

По-видимому, уже метод уровня 2 может давать хорошую сходимость итераций [15]. Тогда достаточно будет остановиться на этом уровне.

На рис. 11 приведены разностные шаблоны методов ВММ уровней 1, 2 и L . Заметим, что метод ВММ уровня 1 эквивалентен методу ВДМ.

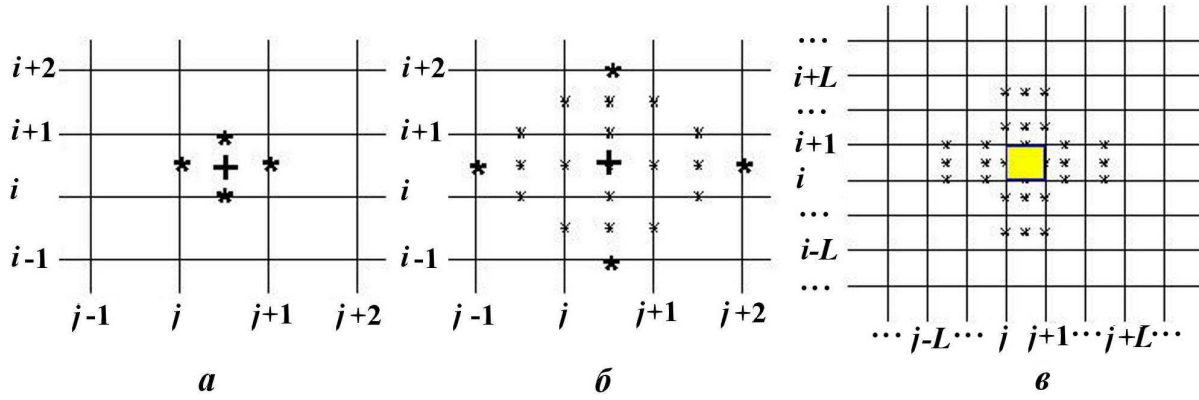


Рис. 11. Шаблоны метода ВММ уровней 1 (a), 2 (б), L (в)

Численные расчеты

Отработка рассмотренных итерационных методов проводилась на различных задачах в различных приближениях. В данной работе приведены только одна задача, построенная по аналогии со второй задачей Флека [17], и результаты, полученные в P_1 -приближении для методов ВДЭ и ВДМ.

На внутреннюю поверхность сферического слоя толщиной 4 см падает планковский поток излучения, соответствующий температуре вещества $T = 1$. Радиус внутренней сферы 100 см, внешней — 104 см. Слой состоит из трех физических областей.

Спектральные граничные условия на верхней границе имеют вид $\frac{1}{4}U_g - \frac{1}{2}S_g = 0$. На нижней границе $\frac{1}{4}U_g + \frac{1}{2}S_g = \frac{1}{4}B_g$ ($T = 1$). На боковых границах областей, которые лежат на оси симметрии, задаются теплоизолированные стенки: $S_g = 0$. Коэффициент поглощения вычисляется по формуле $\alpha_c = \frac{\chi(1 - e^{-\varepsilon/T})}{\varepsilon^3}$, $\chi = 27$ в областях 1, 3 ($100 \leq r \leq 102$; $102,4 \leq r \leq 104$), $\chi = 10\,000$ в области 2 ($102 \leq r \leq 102,4$). Коэффициент рассеяния $\alpha_s = 0$.

Начальная температура в областях $T_{1,2,3} = 0,000\,01$; уравнение состояния вещества $E_{1,2,3} = 0,81T$; плотность вещества $\rho_{1,2,3} = 1$.

По энергетической переменной расчеты выполнены на сетке $\varepsilon_g = 15,0; 12,0; 10,0; 8,0; 7,0; 6,0; 5,5; 5,0; 4,5; 4,0; 3,5; 3,0; 2,6; 2,2; 1,8; 1,4; 1,0; 0,7; 0,5; 0,4; 0,3; 0,2; 0,15; 0,1; 0,08; 0,06; 0,04; 0,02; 0,0$ (число групп 28). Пространственная сетка — равномерная в каждой области: по радиусу — 28, 16, 24 интервала в областях 1, 2, 3 соответственно; по углу — 80 интервалов во всех областях. Шаг по времени $\tau = 0,000\,2$. Итерационный пересчет решения на каждом временном шаге проводился до вычисления температуры вещества с точностью 0,001% ($\varepsilon_{\text{ex}} = 0,000\,01$).

В задаче сравнивалось среднее число внешних итераций за 20 первых временных шагов по различным вариантам методов ВДЭ и ВДМ. После 20 первых временных шагов число внешних итераций значительно уменьшается. Первый вариант метода ВДЭ дает 15 итераций, второй вариант дает 11 итераций, третий вариант — 7 итераций. Метод ВДМ с комбинацией $U/4 \pm S/2$ дает 15 итераций, с комбинацией $U/\sqrt{3} \pm S$ — 16 итераций, с комбинацией $XU \pm YS$ — 11 итераций. Метод простой итерации дает 455 итераций.

В результате проведенных исследований можно сделать следующие выводы.

1. Методы ВДЭ и ВДМ являются высокоеффективными методами ускорения итераций при решении уравнения переноса теплового излучения. Результаты расчета задачи согласуются с теоретическими оценками. Скорости сходимости всех вариантов примерно одинаковы и в 30 раз выше скорости сходимости простой итерации.
2. К достоинствам методов ВДЭ и ВДМ можно отнести простоту реализации и независимость от типа геометрии. К достоинствам алгоритма, при котором плотность излучения находится не прогонкой, а по явным формулам, можно отнести возможность распараллеливания по всем ячейкам разностной сетки.
3. К недостаткам методов ВДЭ и ВДМ можно отнести зависимость скорости сходимости от пространственной сетки.

Список литературы

1. Гольдин В. Я. Квазидиффузионный метод решения кинетического уравнения // Журнал вычисл. мат. и мат. физ. 1964. Т. 4, № 6. С. 1078—1087.
2. Четверушкин Б. Н. Математическое моделирование задач динамики излучающего газа. М.: Наука, 1985.
3. Антоненко Э. М., Долголева Г. В., Крупина С. Н. Программа расчета одномерных задач лазерного термоядерного синтеза (SND) // Вопросы атомной науки и техники. Сер. Математическое моделирование физических процессов. 1994. Вып. 3. С. 3—9.
4. Зуев А. И., Карлыханов Н. Г. Метод решения уравнений радиационно-кондуктивного теплопереноса // Журнал вычисл. мат. и мат. физ. 1983. Т. 23, № 4. С. 910—921.
5. Гусев В. Ю., Козманов М. Ю., Рачилов Е. Б. Метод решения неявных разностных уравнений, аппроксимирующих системы уравнений переноса и диффузии излучения // Там же. 1984. Т. 24, № 12. С. 1842—1849.
6. Гаджиев А. Д., Писарев В. Н. Неявный конечно-разностный метод РОМБ для численного решения уравнений газовой динамики с теплопроводностью // Там же. 1979. Т. 19. С. 1288—1303.
7. Гаджиев А. Д., Шестаков А. А. О двух подходах к ускорению итераций при численном решении уравнений переноса излучения методом "Ромб" // Вопросы атомной науки и техники. Сер. Математическое моделирование физических процессов. 1989. Вып. 3. С. 56—65.
8. Гаджиев А. Д., Шестаков А. А. Методика "Ромб" для численного решения двумерного уравнения переноса излучения в многогрупповом P_1 -приближении // Там же. 1990. Вып. 1. С. 41—47.
9. Шестаков А. А. Об одном варианте метода выделения диагонального элемента // Там же. 1990. Вып. 2. С. 71—75.
10. Шестаков А. А. Сравнение некоторых методов ускорения итераций при совместном решении уравнения переноса излучения в P_1 -приближении и уравнения энергии // Там же. 1993. Вып. 2. С. 10—16.
11. Гаджиев А. Д., Шестаков А. А. Метод выделения диагональной матрицы для численного решения уравнения переноса излучения в P_1 -приближении по схеме РОМБ // Там же. 2006. Вып. 1. С. 3—13.

12. *Вершинская А. С., Гаджисеев А. Д., Грабовенская С. А., Шестаков А. А.* Применение TVD-подхода к решению уравнения переноса теплового излучения в P_1 -приближении // Там же. 2009. Вып. 2. С. 21–36.
13. *Гаджисеев А. Д., Грабовенская С. А., Завьялов В. В., Шестаков А. А.* Применение TVD-подхода к решению уравнения переноса теплового излучения квазидиффузионным методом // См. настоящий вып. С. 3–14.
14. *Гаджисеев А. Д., Романова Е. М., Селезнев В. Н., Шестаков А. А.* Методика ТОМ4-КД для математического моделирования двумерных уравнений переноса излучения в многогрупповом квазидиффузионном приближении // Вопросы атомной науки и техники. Сер. Математическое моделирование физических процессов. 2001. Вып. 4. С. 48–59.
15. *Карлыханов Н. Г.* Построение оптимальных многодиагональных методов решения задач переноса излучения // Журнал вычисл. мат. и мат. физ. 1997. Т. 37, № 4. С. 494–498.
16. *Михалас Д.* Звездные атмосферы. М: Мир, 1982.
17. *Fleck J. A., Jr. and Cummings J. D.* An implicit Monte-Carlo scheme for calculating time and frequency dependent nonlinear radiation transport // J. Comp. Phys. 1971. Vol. 8(3). P. 313–342.

Статья поступила в редакцию 24.09.09.
